Sbドープ Ge_{1-x-v}Si_xSn_v三元混晶薄膜の熱電物性制御

Control of thermoelectric properties of Sb-doped Ge_{1-x-p}Si_xSn_p ternary alloy layers

〇中田壮哉 ¹, 詹天卓 ², 富田基裕 ², 渡邉孝信 ², 中塚理 ^{1,3}, 黒澤昌志 ^{1,4} (1.名大院工, 2.早大理工, 3.名大未来研, 4.名大高等研究院)

OM. Nakata¹, T. Zhan², M. Tomita², T. Watanabe², O. Nakatsuka^{1,3}, and M. Kurosawa^{1,4}
(1. Grad. Sch. of Eng., Nagoya Univ., 2. Waseda Univ., 3. IMaSS, Nagoya Univ., 4. IAR, Nagoya Univ.)
E-mail: mnakata@alice.xtal.nagoya-u.ac.jp, kurosawa@nagoya-u.jp

[はじめに] 未利用排熱量の多い室温付近のエネルギーハーベスティングを目指し、Si 集積回路プロセスとの親和性に優れるIV族系熱電変換材料の開発が求められている。我々は新規熱電変換材料として $Ge_{1-x-y}Si_xSn_y$ 三元混晶薄膜に着目している。Sn 添加で $Si_{1-x}Ge_x$ より低い熱伝導率が得られる可能性があるためである。III-V 化合物半導体と同様、バンドギャップと格子定数の独立制御、 $Ge_{1-x-y}Si_xSn_y/Ge_{1-x}Sn_x$ へテロ接合を用いたタイプ I バンド構造等が実現可能であるが[1]、熱電変換特性のみならず、電子輸送特性についても必ずしも明らかにはなっていない。そこで今回はSbドープ $Ge_{1-x-y}Si_xSn_y$ 薄膜を絶縁性基板上に形成し、その基礎的な熱電物性の調査を目的とした。

[実験方法] $Ge_{1-x-y}Si_xSn_y$ 薄膜のゼーベック係数および電気伝導率を抽出するため、本研究では高抵抗 (抵抗率> $10^8 \Omega cm$)の GaAs(001)基板を用いた. 固体ソース分子線エピタキシー法を用いて、膜厚 50 nm

の Sbドープ $Ge_{1-x-y}Si_xSn_y$ 薄膜(設計 Si 組成:10%, 設計 Sn 組成:2.7%, Sbドープ量: 3×10^{20} cm⁻³)を GaAs(001)上に $250^{\circ}C$ で成膜した. Sbドープ量は Sb の K-cell 温度により制御した. X 線回折測定に より, $Ge_{1-x-y}Si_xSn_y$ 薄膜が基板にエピタキシャル成長したことを確認している.

[実験結果] 薄膜形成後に窒素雰囲気中で熱処理 $(300-500^{\circ}C, 10 \text{ min})$ を施し、Hall 電子濃度の変化を調査した。 $400^{\circ}C$ 以上の後熱処理で Hall 電子濃度が低下するが[Fig. 1],電子移動度はほとんど劣化しないことが判明した。各試料の室温におけるゼーベック係数 Sと電気伝導率 σ の測定結果をFig. 2に示す。図中の実線は、バルクn-Si $_{0.1}$ Ge $_{0.9}$ のパワーファクタ $(P=S^2\sigma)$ を大まかに見積もった値である (SはSiとGeの有効質量の線形近似、 σ はn-Ge[2]と n-Si $_{0.1}$ Ge $_{0.9}$ [3]電子移動度の線形近似を用いて計算した)。本試料で得られた最大のパワーファクタは \sim 12 μ W/cmK 2 であり、バルク n-Si $_{0.1}$ Ge $_{0.9}$ に匹敵する。Sbドープ量依存については当日報告する.

[謝辞] 本研究の一部は、JST-CREST (No. JPMJCR19Q5) および学際・国際的高度人材育成ライフイノヘーションマテリアル創製共同研究プロシェクト(文部科学省)の研究助成により実施されました。

[参考文献] [1]中塚理, 黒澤昌志, 応用物理 **88**, 597 (2019). [2] S. M. Sze *et al.*, Solid State Electron. **11**, 599 (1968). [3] G. Busch *et al.*, Helv. Phys. Acta **33**, 437 (1960).

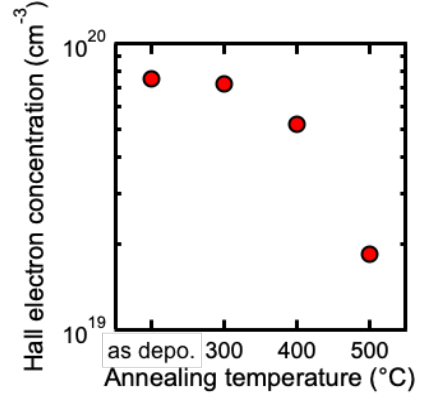


Fig. 1 The post-annealing-temperature dependence of the Hall electron density for Sb-doped $Ge_{1-x-y}Si_xSn_y$ layers.

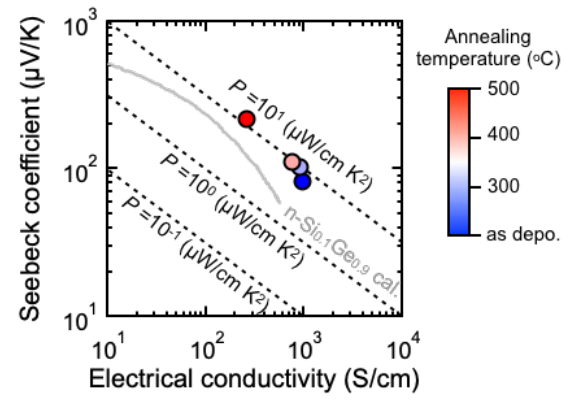


Fig. 2 Seebeck coefficient S and electrical conductivity σ for Sb-doped $Ge_{1-x-y}Si_xSn_y$ layers. The power factor of $n-Si_{0.1}Ge_{0.9}$ bulk was extracted from Refs. 2 and 3. The color of markers corresponds to the annealing temperature.